

مطالعه‌ی کمی و کیفی ریزساختار آلیاژ ریختگی A356 آلومینیم و تأثیر آن بر خواص مکانیکی

فرزاد خمامی‌زاده (استادیار)

علیرضا قاسمی (دانشجوی کارشناسی ارشد)

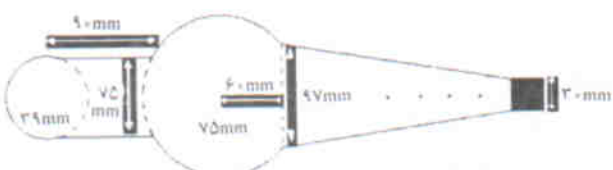
دانشکده‌ی مهندسی و علم مواد، دانشگاه صنعتی شریف

در این تحقیق تأثیر کمی و کیفی مهم‌ترین اجزای ریزساختاری آلیاژ ریختگی A356 آلومینیم بر خواص مکانیکی آن مورد بحث و بررسی قرار گرفته است. بدین منظور اندیس کیفی^۱ به عنوان معیاری از استحکام و انعطاف‌پذیری آلیاژ در شرایط مختلف ریزساختاری اندازه‌گیری شد و تأثیر تغییرات فواصل بین بازوهای دندریتی، میزان کروی بودن ذرات سیلیسیم یوتکنیکی و سطح دوبعدی ریزحرفرها بر روند تغییرات این شاخص به صورت روابط ریاضی پیشنهاد شده است.

(شکل و توزیع یوتکنیکی سیلیسیم، شکل و ترکیب فازهای بین فلزی آهن و ترکیبات مختلف آن، ترکیبات حاوی مس، ترکیبات رسوبی منیزیم و ترکیبات اکسیدی سطحی و غیره) است که هر یک تأثیری تعیین‌کننده بر خواص مکانیکی نهایی آلیاژ دارد، ارائه روابط رضایت‌بخش و فراگیری که در برگیرنده‌ی تمامی این عوامل باشد خیلی ساده نیست. همچنین تأثیر اجزای متعدد ریزساختاری بر خواص مکانیکی آلیاژ همواره یکسان و یکنواخت نیست و علاوه بر آن تغییرات کمی و کیفی هر یک از آن‌ها نیز اغلب بر دیگر اجزا تأثیر می‌گذارد. به عنوان مثال، تغییر اندازه‌ی بازوهای بین دندریتی بر اثر سرعت سرد شدن آلیاژ، بر میزان کرویت فاز سیلیسیم یوتکنیکی و همچنین میزان ریزحرفرها تأثیرگذار است. محققان با در نظر گرفتن یک زیر مجموعه‌ی ریزساختاری، روابط متعددی برای تخمین خواص مکانیکی نهایی آلیاژ ارائه دادند.^{۱-۴} اما یافتن رابطه‌ی برای تخمین تأثیر مجموعه‌ی این عوامل بر خواص مکانیکی حاصل به دلیل همین تأثیرات متقابل کار چندان ساده‌بی نیست. برخی از محققان بر اندازه‌ی فاصله‌ی بازوهای بین دندریتی به عنوان مهم‌ترین عامل تأثیرگذار بر مشخصات مکانیکی آلیاژ‌های ریختگی آلومینیم-سیلیسیم تأکید دارند و با ارائه روابطی که تنها در برگیرنده‌ی این متغیر هستند سعی در پیش‌بینی خواص نهایی آلیاژ دارند.^{۵-۱۰} مطابق این مطالعات فاصله‌ی بازوهای بین دندریتی اغلب رابطه‌ی بسیار نزدیکی با سرعت سرد شدن و خواص مکانیکی آلیاژ دارد.^{۱۱-۱۶} اما برخی دیگر از مطالعات تأثیر شکل فاز یوتکنیکی اولیه‌ی

مقدمه
یکی از مهم‌ترین اهداف مهندسان طراح، کاهش وزن سازه‌ها با در نظر گرفتن نیازهای کیفی و اینمی ضروری در قطعات است. با این وجود تضمین استحکام کافی با در نظر گرفتن ضرایب اینمی غالباً منجر به افزایش بیش از حد انتظار وزن قطعات می‌شود. پیش‌بینی دقیق این نیازها از یک طرف بستگی به نحوه‌ی طراحی و اجرا، و از طرف دیگر به قابلیت پیش‌بینی دقیق رفتار قطعه در شرایط عملی، با توجه به ساختار داخلی و خارجی آن دارد. همچنین برآورد استحکام و خواص مکانیکی قطعات مختلف به کمک روابط ریاضی که منتج از بررسی‌های ریزساختاری و حتی الامکان غیر محدود باشند از دیرباره تفاوت خواص اجزا تشکیل دهنده‌ی ساختار ماده منجر به پیچیدگی این نوع روابط می‌شود. موقوفیت در ارائه و پیشرفت چنین روش‌هایی به طراحان و سازندگان امکانات وسیع‌تری برای طراحی سازه‌های سبک‌تر و پیچیده‌تر می‌بخشد.

آلیاژ‌های ریختگی آلومینیم - سیلیسیم، به وزن آلیاژ A356، با دارا بودن خواص مکانیکی و ریخته‌گری مطلوب کاربرد وسیعی در صنایع مختلف، از جمله صنایع خودروسازی و صنایع هوافضادارند و همواره مورد توجه محققان و طراحان بوده‌اند. برای برآورد خواص مکانیکی این آلیاژ‌ها به روش‌های مختلف از جمله محاسبات عددی یا اندازه‌گیری کمی و کیفی عوامل تشکیل دهنده‌ی ریزساختار تلاش شده است، اما با توجه به این که ساختار آلیاژ‌های ریختگی آلومینیم - سیلیسیم در برگیرنده‌ی مجموعه‌ی متعددی از عوامل ریزساختاری



شکل ۱. نمای مدل قالب گودی بی مورد استفاده در این تحقیق.

عدم ایجاد حفره‌ی انقباضی متمرکز در قطعات را تضمین کرده است (شکل ۱).

نمونه‌های آزمایشی در قالب‌های ماسه‌ی سیلیسیم به روش چسب سیلیکات سدیم CO_2 / CO_2 تهیه شده و ترموموکوپیل‌های نوع K در نقاط مختلف محور طولی محافظه‌ی قالب تعبیه شده‌اند. گاززدایی C توسط دستگاه روتور و به کمک گاز آرگون به مدت ۱۵ دقیقه انجام شده است.^[۱۲] اصلاح دانه‌های سیلیسیم یوتکنیکی توسط حدود ۱۵٪ استرانسیم مذاب با استفاده از آمیزان Sr-۰.۱٪ در سیزدهمین دقیقه فرایند گاززدایی انجام شده است تا از میرای آن در حین فرایند گاززدایی جلوگیری شود. همچنین به منظور ظرفی‌سازی دانه‌های آلومینیم «در ریزساختار نهایی آلیاز به ذوب حدود ۰.۲٪ تبتانیم از طریق آمیزان B-۷٪ Ti-۵٪ Al-۰.۵٪ افزوده شده است. در عملیات ریخته‌گری سعی شده تا حد امکان از جذب مجدد گاز و ایجاد ناخالصی‌های اکسیدی در اثر افتباش در مذاب اجتناب شود. از بلوك‌های تهیه شده نمونه‌هایی از مقاطع پا ضخامت‌های مختلف (سرعت‌های انجام متفاوت) تهیه شده است. زیرساختار تمامی نمونه‌ها به کمک میکروسکوپ سوری مورد بررسی قرار گرفته‌اند. محاسبات کثی و کیفی اجزای ریزساختار به کمک نرم افزار آنالیز تصویری SIS analysis imaging C نجات شده است. همچنین نمونه‌های آزمایشات کشش گرد، مطابق استاندارد ASTM-۱۲۵۷M نیز از مقاطع ذکر شده تهیه شده و نتایج حاصله از بررسی‌های ریزساختاری با نتایج حاصل از آزمایشات مکانیکی مقایسه شدند.

جدول ۱. ترکیب شیمیایی ذوب ریخته شده.

نام عنصر	درصد وزنی
Si	۶/۶۳
Sr	۰/۰۴
Fe	۰/۲۳
Cu	۰/۱۸
Mn	۰/۰۲
Mg	۰/۲۴
Zn	۰/۰۰۸
Ti	۰/۱۸
بقیه	Al

سیلیسیم^[۷] و برخی دیگر حجم، اندازه و شکل ریز حفره‌های موجود در ریزساختار را عوامل تعیین کننده‌یی به شمار می‌آورند که محاسبه‌ی خواص مکانیکی حاصل بدون در نظر گرفتن این متغیرها دچار خطای غیر قابل اغماضی خواهد شد.^[۱۰-۸۳] لازم به ذکر است که تفاوت‌های جزئی ترکیب شیمیایی آلیاز در محدوده‌ی مجاز استاندارد شیمیایی نیز بر خواص نهایی آلیاز تأثیرگذار است، اما این تأثیر در مقایسه با دیگر عوامل مؤثر از جمله سرعت انجام، جوانه زنی و بهسازی معمولاً کمتر قابل مشاهده است.^[۱۵]

شکل فاز سیلیسیم یوتکنیکی تأثیر بسیار مهمی بر خواص مکانیکی نهایی آلیاز دارد. این تأثیر توسط محققان مختلفی گزارش شده است.^[۳۰] تغییر شکل فاز سیلیسیم از تغییری به سلولی با کاهش تمرکز تنش در رأس تغییرات فاز یوتکنیکی، موجب افزایش تنش لازم برای جوانه‌زنی و رشد ترک می‌شود. اصلاح ساختار سیلیسیم یوتکنیک به کمک عوامل اصلاح کننده‌یی نظیر سدیم یا استرانسیم بسیار متداول است. گرچه سرعت سرد شدن نیز تأثیر تعیین کننده‌یی بر شکل فاز سیلیسیم دارد و استفاده از این عامل در بسیاری از موارد بر استفاده از اصلاح کننده‌ها ترجیح داده می‌شود.

در این تحقیق از بین عوامل مختلف تشکیل دهنده‌ی ریزساختار آلیاز A356 آلومینیم، تأثیر مهم‌ترین متغیرهای ریزساختار یعنی طول بازوی دندربیتی، شکل و توزیع فاز یوتکنیکی سیلیسیم و میزان پراکندگی ریز حفره‌ها بر خواص مکانیکی نهایی آلیاز A356 آلومینیم مورد بررسی و مطالعه قرار می‌گیرد. همچنین از طریق تحلیل عددی نتایج حاصل، رابطه‌های ریاضی که در برگردانده‌ی متغیرهای اشاره شده باشند نیز جست وجو خواهد شد.

با توجه به تنوع شرایط انجام‌دادی و ریزساختاری در نقاط مختلف قطعات ریختگی و به منظور تعریف کلی از مجموع خواص مکانیکی حاصل در نمونه‌ها از مؤلفه‌یی به نام شاخص کیفی استفاده شده است که معرف رابطه‌ی نرخ رشد استحکام کششی آلیاز با میزان افزایش طول نسبی آن است. شاخص مذکور به صورت رابطه‌ی ۱ بیان می‌شود:^[۱۱]

$$Q = UTS + K \cdot \log(T) \quad (1)$$

در این رابطه ثابت K برای آلیاز A356 معادل ۱۵۰ مگاپاسکال در نظر گرفته شده است.

روش تحقیق

در این تحقیق دو سری نمونه از آلیاز A356 آلومینیم، با ترکیب شیمیایی ذکر شده در جدول ۱، در قالب‌های گودی بی شکل دارای مبرد مسی و به قطر دو سانتی‌متر ریخته شده است. حجم مناسبی از تقدیم،

نتایج و بحث

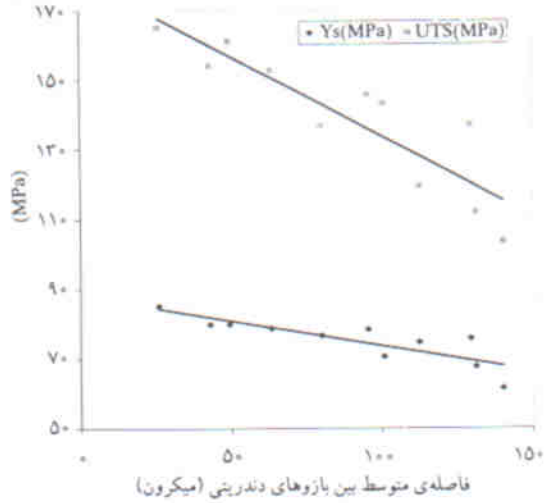
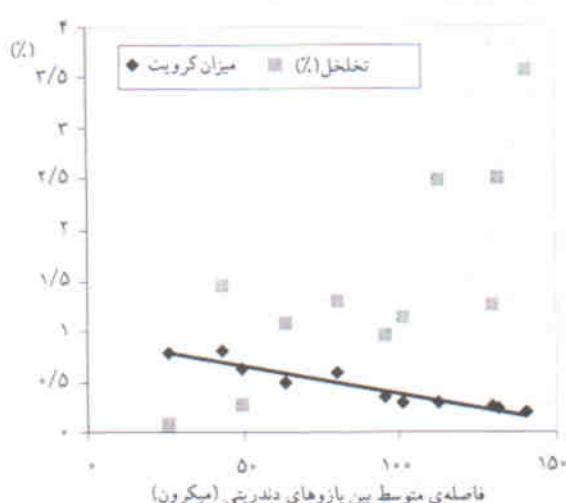
بازوهای بین دندربیتی که در شرایط یکسان جوانه‌زنی معیاری از سرعت سرد شدن آلیاژ است تأثیر تعیین‌کننده‌ی بر شکل فاز سیلیسیم دارد. طبق این نتایج، کاهش فاصله‌ی بازوهای بین دندربیتی موجب افزایش میزان کرویت ذرات سیلیسیم یوتکنیکی و همچنین مقدار ریزحرفه‌ها شده است. همچنین افزایش اندازه‌ی فاصله‌ی بازوهای بین دندربیتی با جلوگیری از جریان مذاب در فضای محصور بین دندربیت‌ها و ممانعت از تغذیه‌ی مناسب حین انجام دارند که نواحی موجب افزایش میزان حفره‌ها شده است. لازم به ذکر است که در صورتی که آنالیز کنی از نظر آماری در یک محدوده‌ی سطحی به اندازه‌ی کافی بزرگ انجام شود، اندازه‌ی مجموع سطحی ریز حفره‌ها تقریب خوبی از حجم آن است.^[۱۰]

نتایج اندازه‌گیری کنی و کیفی اجزاء ریزساختاری و خواص مکانیکی نمونه‌های آزمایشی برای هر دو گروه نمونه‌های تهیه شده در جدول ۲ ملاحظه می‌شوند. با استفاده از نتایج این جدول تغییرات استحکام تسلیم و استحکام کششی نسبت به تغییر فواصل بین بازوهای دندربیتی نمونه‌ها در شکل ۲ نمایش داده شده است. چنان‌که ملاحظه می‌شود این نتایج به طور کلی به حالت خطی تمایل دارند که با نتایج دیگر محققان مطابقت دارد.^[۶, ۲۱]

تغییرات میزان کرویت ذرات سیلیسیم و همچنین میزان حفره‌ای سطحی نسبت به تغییرات فواصل بین دندربیتی در شکل ۲ ملاحظه می‌شوند. همان‌طور که مشاهده می‌شود اندازه‌ی فاصله‌ی

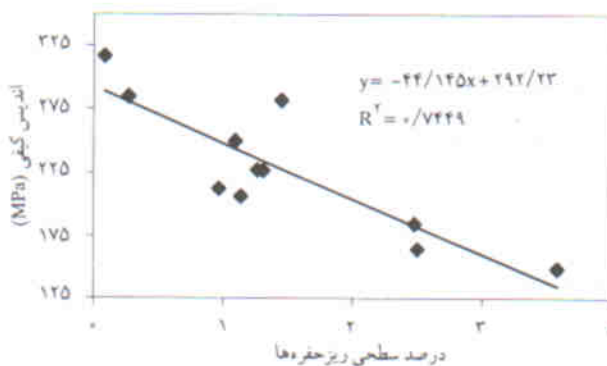
جدول ۲. خواص مکانیکی و ریزساختاری نمونه‌های آزمایش شده.

نمره	فاصله از مبدأ (mm)	زمان تجداد (ثانیه)	استحکام تسلیم (Mpa)	استحکام کششی (Mpa)	ازدیاد طول نسبی (%)	اندیس کنی (Mpa)	فاصله‌ی بازوهای دندربیت (μm)	ذرات سیلیسیم	ذرات سیلیسیم	طول/عرض ذرات سیلیسیم	نرخ ریزحرفه‌ها (%)	خواص مکانیکی		مقادیر اندازه‌گیری شده اجزای ریزساختار	
												ذرات سیلیسیم	ذرات سیلیسیم		
A1	۱۵	۹۲	۷۹/۷۵	۱۵۲/۹۷	۷/۰۹	۲۸۱/۵۶	۴۲	۱/۴۷	۰/۸۱	۱/۴۵	۰/۳۰	۰/۸۶	۰/۴۵		
A2	۴۵	۳۹۵	۷۶/۵۳	۱۲۶/۶۳	۴	۲۲۶/۹۴	۸۰	۲/۰۰	۰/۵۹	۱/۳۱	۰/۳۰	۰/۵۹	۱/۳۱		
A3	۱۴۰	۹۸۶	۷۴/۴۷	۱۱۹/۴۱	۲/۷۲	۱۸۴/۵۴	۱۱۲/۰۵	۸/۲۸	۰/۳۰	۲/۴۸	۱/۳۰	۰/۳۰	۲/۴۸		
A4	۲۱۰	۱۴۶۵	۶۷/۴۷	۱۱۲/۰۴	۲/۲۲	۱۶۴/۰۰	۱۳۱/۲۴	۱۱/۳۰	۰/۲۲	۲/۵۰	۱/۳۰	۰/۲۲	۲/۵۰		
A5	۲۴۰	۱۸۴۲	۶۱/۲۳	۱۰۳/۷۳	۱/۹۹	۱۴۸/۰۵	۱۳۰/۲۸	۱۳/۳۰	۰/۲۰۳	۳/۷۶	۰/۲۰۳	۰/۲۰۳	۳/۷۶		
C1	۱۵	۲۱	۸۵/۱۶	۱۶۵/۰۳	۱/۱۶	۲۱۶/۲۳	۲۵/۹۳	۱/۴۴	۰/۷۸۳	۰/۸۴	۰/۷۸۳	۰/۷۸۳	۰/۸۴		
C2	۴۵	۱۱۰	۷۹/۸۶	۱۶۱/۱۰	۶/۳۰	۲۸۴/۳۲	۴۹/۴	۲/۶۵	۰/۶۲۸	۰/۲۷۱	۰/۲۷۱	۰/۶۲۸	۰/۲۷۱		
C3	۷۵	۲۴۴	۷۸/۰۷	۱۵۲/۰۳	۴/۰۸	۲۴۹/۸۸	۶۳/۴۰	۴/۱۵	۰/۴۹۱	۱/۰۳	۰/۰۳	۰/۰۳	۱/۰۳		
C4	۱۰۵	۶۹۵	۷۸/۲۳	۱۴۵/۴۷	۲/۸۰	۲۱۲/۰۴	۹۵/۵	۶/۷۸	۰/۳۵۲	۰/۹۶۹	۰/۰۳	۰/۰۳	۰/۹۶۹		
C5	۱۲۵	۷۷۵	۷۸/۴۱	۱۴۲/۹۵	۲/۶۰	۲۲۷/۰۸	۱۰۰/۸۴	۸/۴۸	۰/۲۹۶	۱/۱۲۸	۰/۰۳	۰/۰۳	۱/۱۲۸		
C6	۱۶۵	۱۲۲۰	۷۵/۰۳	۱۲۶/۷۵	۳/۷۴	۲۲۷/۰۸	۱۲۹/۴۸	۱۰/۲۸	۰/۲۵۴	۱/۲۶۶	۰/۰۳	۰/۰۳	۰/۲۵۴		

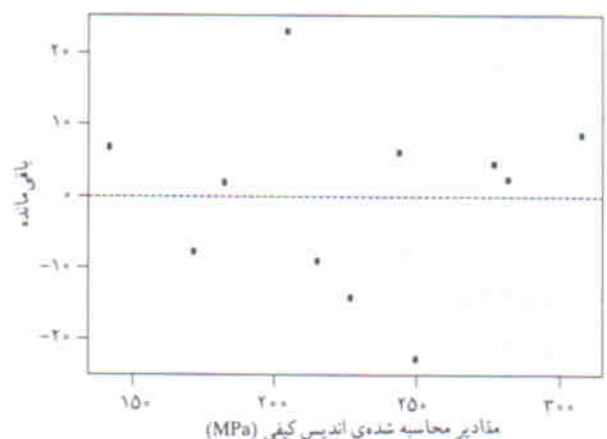


شکل ۳. نمودار تغییرات میزان کرویت ذرات سیلیسیم و همچنین میزان حفره‌ای سطحی نسبت به تغییرات فواصل بین دندربیتی.

شکل ۲. نمودار تغییرات استحکام تسلیم و استحکام کششی با تغییرات فواصل بین دندربیتی.



شکل ۶. نمودار تغییرات اندیس کیفی نسبت به میزان ریز حفره‌های سطحی آلیاز.



شکل ۷. نمودار توزیع خطای معادله ۵.

ریز حفره‌ها در سطح دو بعدی به صورت رابطه‌ی ۴ به دست آمده است. (شکل ۶)

$$Q_1 = -44/15(M_p) + 292 \quad (4)$$

همان طور که قبل نیز اشاره شد، تعیین خواص مکانیکی آلیاز به کمک آنالیز کمی و کیفی ریز ساختار آن با پیچیدگی هایی مواجه است، زیرا تأثیر اجزاء متعدد ریز ساختاری بر خواص مکانیکی آلیاز یکسان و همواره یکنواخت نیست و علاوه بر آن تغییرات کمی و کیفی هر یک از آن های نیز اغلب بر دیگر اجزاء تأثیر می گذارد. تاکنون در هر یک از روابط ارائه شده، تنها تغییرات یکی از عوامل ریز ساختاری در نظر گرفته شده و نقش دیگر اجزاء ریز ساختاری در آن ها وارد نشده است. طبیعی است که هر یک از این روابط به تنهایی قادر به پیش بینی دقیق مشخصات مکانیکی آلیاز نخواهد بود و خطای حاصل از نقش دیگر عوامل ریز ساختاری را به مراد خواهد داشت. بهمین دلیل، با استفاده از نتایج حاصل از متغیرهای سه گانه‌ی تجربی (فوائل بازو های دندربیتی، کرویت ذرات سیلیسیم یوتکنیکی و سطح ریز حفره ها) و به کمک روش مشتقات جزئی چند تابی [۱۴]۲

با توجه به نتایج حاصل، رابطه‌ی تغییرات اندیس کیفی با فاصله‌های متوسط بین دندربیتی آلیاز مطابق با شکل ۴ به صورت رابطه‌ی ۲ ارائه شده است.

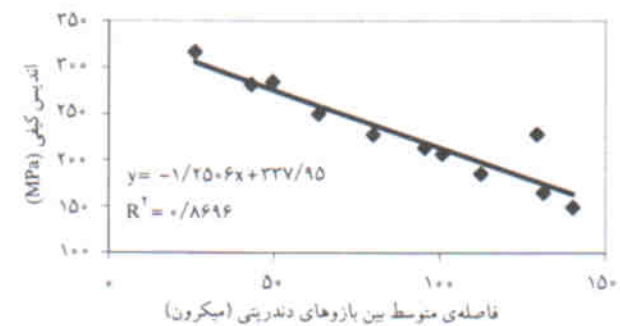
$$Q_1 = -1/25(DAS) + 228 \quad (2)$$

در این رابطه Q_1 اندیس کیفی (مگا پاسکال) و DAS فاصله متوسط بین دندربیتی (میکرومتر) است.

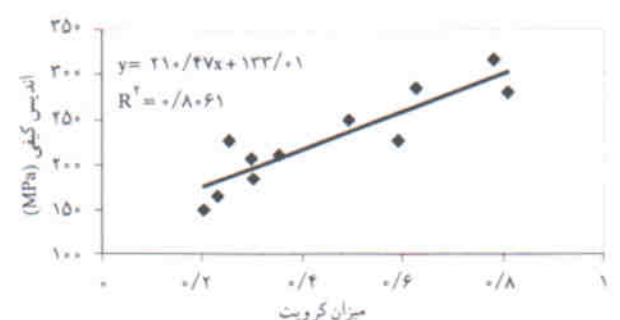
در این تحقیق گرچه عمل بهینه سازی فاز سیلیسیم یوتکنیکی با استفاده از اصلاح کننده‌ی حاوی استرانسیم انجام شده، با کاهش سرعت سرد شدن به سمت مناطق ضخیم تر، میزان اصلاح نیز تغییر می کند که این پدیده در خواص مکانیکی نهایی تأثیرگذار است. رابطه‌ی تغییرات اندیس کیفی با میزان کرویت ذرات فاز یوتکنیکی سیلیسیم نیز به صورت رابطه‌ی ۳ به دست آمده است (شکل ۵).

$$Q_1 = 210/47(S_p) + 132 \quad (3)$$

که در آن S_p میزان کرویت ذرات فاز یوتکنیکی سیلیسیم است. تغییرات اندیس کیفی آلیاز نسبت به تغییر مجموع سطح ریز حفره ها در سطح دو بعدی در شکل ۶ ملاحظه می شوند. رابطه‌ی تغییرات اندیس کیفی نسبت به تغییر مجموع درصد سطحی



شکل ۴. نمودار تغییرات اندیس کیفی نسبت به تغییرات فاصله متوسط بین دندربیتی.



شکل ۵. نمودار تغییرات اندیس کیفی نسبت به تغییرات میزان کرویت فاز سیلیسیم یوتکنیکی.

موضوع ادامه این تحقیق باشد. همچنین نقش عملیات حرارتی پیرسختی که معمولاً بر آلیاز A356 انجام می‌پذیرد، از دیگر موارد قابل بررسی است. انجام مطالعات دقیق‌تر در این زمینه راه‌گشایی انجام تلاش‌های آتی در زمینه‌ی پیش‌بینی دیگر خواص مکانیکی مهم این خانواده از آلیازها، به ویژه خستگی در پرسیکل^۳ و خستگی حرارتی^۴ خواهد بود.

نتیجه‌گیری

نتایج اندیس کیفی آلیاز A356 نسبت به تغییر فواصل بین بازویهای دندربیتی، میزان کرویت ذرات سیلیسیم و همچنین سطح ریزخفرهای به صورت روابطی خطی با تقریب مناسب به دست آمده‌اند. با وجود این، از آنجاکه خواص مکانیکی آلیاز متأثر از تأثیر همزمان مجموعه‌ی از متغیرهای ریزساختاری تشکیل‌دهنده‌ی آلیاز هستند، با استفاده از روش مشتقات جزئی چندتایی رابطه‌ی شامل سه متغیر از مهم‌ترین عوامل تأثیرگذار بر رفتار مکانیکی آلیاز ارائه شده است که با تقریب مناسبی نتایج بدست آمده‌ی تجزیی را پوشش می‌دهد. حداکثر اختلاف به دست آمده توسط این رابطه نسبت به روابط تحریبی کمتر از ۲۵ Mpa بوده است.

معادله‌ی جدیدی به دست می‌آید (معادله‌ی ۵). در این روش از مدل مشتق‌گیری چندگانه به فرم $Y = \beta_0 + \beta_1 X_1 + \beta_2 X_2 + \varepsilon$ استفاده شده که در آن X_1 ، X_2 و X_3 متغیرهای اندازه‌گیری (predictors) و β_0 ، β_1 و β_2 ضرایب مشتق‌گیری هستند. ضریب α نیز خطای توزیع بین مقادیر صفر تا انحراف معیار σ است.^[۱۴]

$$\text{Quality index} = 213 - 0.81 DAS + 1.26(S_p) - 2.4 / (M_p) \quad (5)$$

$$R - Sq = 79.4 / 2$$

خطای حاصل از رابطه‌ی ۵ که در شکل ۷ ملاحظه می‌شود، بیانگر انطباق مناسب این رابطه است. حداکثر خطای به دست آمده توسط این رابطه، در مقایسه با نتایج عملی کمتر از ۲۵ Mpa بوده است.

علی‌رغم تطابق مناسب نتایج حاصل از روابط پیشنهاد شده با نتایج عملی، و در نظر گرفتن مهم‌ترین اجزای ریزساختاری در این روابط که گام مهمی نسبت به تحقیقات دیگر محققان برای تاخین خواص مکانیکی آلیاز از طریق آنالیز کتی و کیفی آن است، هنوز هم این روابط نقش تمامی عوامل مؤثر را در نظر نمی‌گیرند. به عنوان مثال، نقش فازهای بین فازی حاوی آهن، منگنز و دیگر عناصر آلیازی، فازهای اکسیدی و دیگر عواملی که در نمونه‌های تهیه شده در این آزمایشات در حدائق ممکن نگاه داشته شده‌اند می‌تواند

پانوشت

1. Quality Index
2. Multiple Regression Method
3. High Cycle Fatigue
4. Thermal Fatigue

منابع

1. Oswalt, K. J. Misra, M. S., "Dendrite arm spacing: A non destructive Test to evaluate tensile properties of premium quality aluminum alloy (Al-Si-Mg) castings", AFS Transactions, 80-51, pp 845-861, (1980).
2. Radhakrishna K. and Seshan, S., "Dendrite arm spacing and mechanical properties of aluminum cast alloys" *Cast Metals*, 2 (1), pp 34-38, (1989).
3. Pan, D.E. N. Hsieh, M. W. Jang, S.S. Loper, C.R. Jr., "Study of influence of processing parameters on the microstructure and properties of A356 aluminum alloy", AFS Transactions, 89-73, pp 397-414, (1989).
4. Radhakrishna, K. Seshan, S. Seshadri, M. R., "Dendrite arm spacing in aluminum alloy castings", AFS Tranactions, 80-87, pp 695-702, (1980).
5. Flemings, M. C. Kattamis, T. Z. Bardes, B. P., "Dendrite arm spacing in aluminum alloys", AFS Transactions, 90-176, pp 501-506, (1991).
6. Hetke, A. Gundlach, R. B., "Aluminum casting quality in alloy 356 engine components" AFS Transactions, 94-137, pp 367-380, (1994).
7. Voigt, R.C. Bye, D.R., "Microstructural aspects of fracture in A356", AFS Transactions, 91-125, pp 33-50 (1991).
8. Harada, M. Suzuki, T. Fukui, I., "Effects of microporosity and microstructure on mechanical properties of aluminum casting alloys", *Transactions of Japan foundrymen's society*, 5, pp 47-50, (1985).
9. Fang, Q.T. Granger, D. A., "Porosity formation in modified and unmodified A356 alloy castings", AFS Transactions, 89-209, pp 989-1000, (1989).
10. Anson, J. P. Grozleski, J. E., "Effect of hydrogen content on relative shrinkage and gas microporosity in Al-7% Si casting", AFS transactions 107, 99-26, pp 135-142, (1999).
11. Caceres, H. Wang, L. Apelian, D. Makhlouf, M. M., "Alloy selection for die castings using the quality index", AFS transactions, 107, 99-147, pp 239-247, (1999).
12. Caceres, C. H., "Microstructural effects on the strength-ductility relationship of Al-7Si-Mg casting alloys", Materials science forum, 331-337, pp 223-228, (2000).
13. Erard, J. P., "Degazage et lavage des bains d'aluminium par l'insufflation d'azote à aid d'un rotor", Hommes et fonderie, pp 23-29, (Nov, 1990).
14. Montgomery, D.C. and Peck, E.A., "Introduction to linear regression analysis", John Wiley & Sons, (1982).